

Test de universalidad leptónica y el modelo de Pati-Salam

Oscar Rosero · Eduardo Rojas

Noviembre 9 de 2022

Trabajo de grado

Para optar por el título de Físico



Universidad de **Nariño**
TANTVM POSSVMVS QVANTVM SCIMVS

1. Introducción
2. Estudio detallado del modelo
3. Estudio fenomenológico
4. Conclusiones



Introducción



- Modelo estándar (ME) provee explicación asombrosamente exitosa de la naturaleza de las partículas elementales.
- Evidencias experimentales más significativas de física más allá del ME: Anomalías en decaimientos del mesón $B \Rightarrow$ Violación de la universalidad leptónica.
- Estas anomalías pueden explicarse mediante un leptoquark vectorial $(\mathbf{3}, 1)_{2/3}$ o $(\mathbf{3}, \mathbf{3})_{2/3}$.
- Objetivo de este trabajo: Estudiar un modelo viable basado en la unificación de Pati-Salam que no involucre mezclas con nuevos fermiones vectoriales.



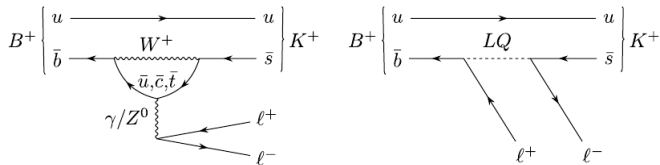
Introducción

Anomalías de sabor y los decaimientos del mesón B



Anomalías de sabor y los decaimientos del mesón B

- Búsqueda de nueva física \rightarrow comparar medidas observadas en decaimientos leptónicos con predicciones del ME.
- Cantidades medibles pueden predecirse de forma precisa en los decaimientos de un mesón B^+ ($u\bar{b}$) hacia un Kaón K^+ ($u\bar{s}$) y dos leptones ℓ^+ , ℓ^- . A nivel fundamental: $\bar{b} \rightarrow \bar{s}$.
- La universalidad leptónica es simetría accidental del ME.



Contribuciones del ME y de nueva física a decaimientos del mesón B (Fuente: Aaij, et. al., 2022).



Anomalías de sabor y los decaimientos del mesón B

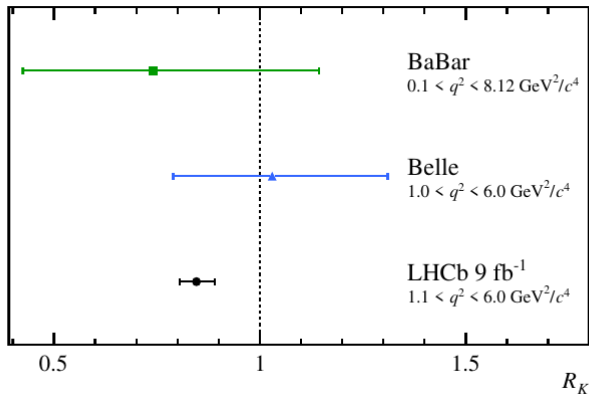
- Para un decaimiento de un mesón B en otro mesón cualquiera H , la fracción de ramificación para dos modos de decaimiento semileptónico es dada por

$$R_H \equiv \frac{\int_{q_{\min}^2}^{q_{\max}^2} \frac{d\mathcal{B}(B \rightarrow H\mu^+\mu^-)}{dq^2} dq^2}{\int_{q_{\min}^2}^{q_{\max}^2} \frac{d\mathcal{B}(B \rightarrow He^+e^-)}{dq^2} dq^2}. \quad (1)$$

- Se ha determinado que estas razones están $2,1 - 2,5\sigma$ por debajo de las predicciones del ME.
- en 2021, el experimento LHCb realizó mediciones precisas de R_K , obteniendo $R_K = 0,846^{+0,044}_{-0,041}$.



Anomalías de sabor y los decaimientos del mesón B



Comparación entre medidas de R_K (Fuente: *Nature Phys.*, 18(3):277–282, 2022).

Introducción

Leptoquarks como explicación para las anomalías de sabor



Leptoquarks como explicación para las anomalías de sabor

- Un leptoquark es una partícula hipotética que porta tanto número bariónico como leptónico. Varias teorías de física más allá del ME predicen su existencia.
- Los leptoquarks vectoriales aparecen en teorías de unificación, como la de Pati-Salam.
- Los leptoquarks admiten acoplamientos diferentes para diferentes leptones.
- No existen argumentos teóricos fuertes para preferir un patrón particular de sabores de leptoquarks o de números cuánticos. Esto motiva la búsqueda sistemática de estados finales mínimos pero suficientes que puedan evidenciar leptoquarks con decaimientos arbitrarios de quarks y leptones.



Leptoquarks posibles y sus números cuánticos (Fuente: *JHEP*, 11–044, 2017)

Espín	$3B + L$	$SU(3)_c$	$SU(2)_L$	$U(1)_Y$	Acoplamientos permitidos
0	-2	$\bar{3}$	1	1/3	$\bar{q}_L^c \ell_L$ o $\bar{u}_R^c e_R$
0	-2	$\bar{3}$	1	4/3	$\bar{d}_R^c e_R$
0	-2	$\bar{3}$	3	1/3	$\bar{q}_L^c \ell_L$
1	-2	$\bar{3}$	2	5/6	$\bar{q}_L^c \gamma^\mu e_R$ o $\bar{d}_R^c \gamma^\mu \ell_L$
1	-2	$\bar{3}$	2	-1/6	$\bar{u}_R^c \gamma^\mu \ell_L$
0	0	3	2	7/6	$\bar{q}_L e_R$ o $\bar{u}_R \ell_L$
0	0	3	2	1/6	$\bar{d}_R \ell_L$
1	0	3	1	2/3	$\bar{q}_L \gamma^\mu \ell_L$ o $\bar{d}_R \gamma^\mu e_R$
1	0	3	3	5/3	$\bar{u}_R \gamma^\mu e_R$
1	0	3	3	2/3	$\bar{q}_L \gamma^\mu \ell_L$



Estudio detallado del modelo



Modelo y contenido de partículas

El modelo fue propuesto por Fornal, et.al. (Phys. Rev. D 99, 055025 (2019)) se basa en el grupo gauge

$$SU(4)_L \otimes SU(4)_R \otimes SU(2)_L \otimes U(1)' \quad (2)$$

Descomposición en multipletes del ME

$$\begin{aligned} \Psi_L &= (4, 1, 2, 0) = (3, 2)_{\frac{1}{6}} \oplus (1, 2)_{-\frac{1}{2}} \\ \Psi_R^u &= (1, 4, 1, \frac{1}{2}) = (3, 1)_{\frac{1}{6}} \oplus (1, 1)_0 \\ \Psi_R^d &= (1, 4, 1, -\frac{1}{2}) = (3, 1)_{-\frac{1}{3}} \oplus (1, 1)_{-1} \end{aligned} \quad (3)$$

Sector de Higgs

$$\begin{aligned} \Sigma_L &= (4, 1, 1, \frac{1}{2}), \quad \Sigma_R = (1, 4, 1, \frac{1}{2}), \\ \Sigma &= (\bar{4}, 4, , 0) \end{aligned} \quad (4)$$

Contienen Q_L, L_L, u_R, d_R, e_R y un neutrino derecho ν_R .



Estudio detallado del modelo

Generadores de $SU(4)$



Generadores de SU(4)

Partimos de

$$(C_{\alpha\beta})_{ik} = \delta_{\alpha i} \delta_{\beta k} \quad (5)$$

y empleamos combinaciones lineales de la forma

$$C_{\alpha\beta} + C_{\beta\alpha}, \quad \frac{1}{i}(C_{\alpha\beta} - C_{\beta\alpha}) \quad (6)$$

Para que las matrices diagonales tengan traza cero formamos las combinaciones:

$$C''_{11} = C_{11} - \frac{1}{3}(C_{11} + C_{22} + C_{33}) = \frac{1}{3} \begin{pmatrix} 2 & & & \\ & -1 & & \\ & & -1 & \\ & & & 0 \end{pmatrix}$$

$$C''_{22} = C_{22} - \frac{1}{3}(C_{11} + C_{22} + C_{33}) = \frac{1}{3} \begin{pmatrix} & & & \\ & -1 & & \\ & & 2 & \\ & & & -1 \end{pmatrix}$$

$$C''_{33} = C_{33} - \frac{1}{3}(C_{11} + C_{22} + C_{33}) = \frac{1}{3} \begin{pmatrix} & & & \\ & & & \\ & & -1 & \\ & & & 2 \end{pmatrix}$$

$$C''_{44} = C_{44} - \frac{1}{3}(C_{11} + C_{22} + C_{33}) = \frac{1}{3} \begin{pmatrix} & & & \\ & & & \\ & & -1 & \\ & & & -1 \end{pmatrix} \quad (7)$$



Las combinaciones

$$\tilde{\lambda}_3 = C''_{11} - C''_{22} = \begin{pmatrix} 1 & & & \\ & -1 & & \\ & & 0 & \\ & & & 0 \end{pmatrix}, \quad \tilde{\lambda}_8 = (C''_{11} + C''_{22}) = \frac{1}{3} \begin{pmatrix} 1 & & & \\ & 1 & & \\ & & -2 & \\ & & & 0 \end{pmatrix} \quad (8)$$

toman la forma de las matrices de Gell-Mann, mientras que definimos

$$\tilde{\lambda}_{15} = -3C''_{44} = \begin{pmatrix} 1 & & & \\ & 1 & & \\ & & 1 & \\ & & & -3 \end{pmatrix} \quad (9)$$

como el tercer generador diagonal de SU(4).



Generadores de SU(4)

Normalizamos de acuerdo con $\text{Tr}(T_i T_j) = (1/2)\delta_{ij}$

$$T_1 = \frac{1}{2}\tilde{\lambda}_1 = \frac{1}{2}(C_{12} + C_{21}) = \frac{1}{2}\begin{pmatrix} 0 & 1 & 0 \\ 1 & 0 & 0 \\ 0 & 0 & 0 \end{pmatrix}, \quad T_2 = \frac{1}{2}\tilde{\lambda}_2 = \frac{1}{2i}(C_{12} - C_{21}) = \frac{1}{2}\begin{pmatrix} 0 & -i & 0 \\ i & 0 & 0 \\ 0 & 0 & 0 \end{pmatrix},$$

$$T_3 = \frac{1}{2}\tilde{\lambda}_3 = \frac{1}{2}(C'_{11} - C'_{22}) = \frac{1}{2}\begin{pmatrix} 1 & & \\ & -1 & \\ & & 0 \end{pmatrix}, \quad T_4 = \frac{1}{2}\tilde{\lambda}_4 = \frac{1}{2}(C_{13} + C_{31}) = \frac{1}{2}\begin{pmatrix} 0 & 0 & 1 \\ 0 & 0 & 0 \\ 1 & 0 & 0 \end{pmatrix},$$

$$T_5 = \frac{1}{2}\tilde{\lambda}_5 = \frac{1}{2i}(C_{13} - C_{31}) = \frac{1}{2}\begin{pmatrix} 0 & 0 & -i \\ 0 & 0 & 0 \\ i & 0 & 0 \end{pmatrix}, \quad T_6 = \frac{1}{2}\tilde{\lambda}_6 = \frac{1}{2}(C_{23} + C_{32}) = \frac{1}{2}\begin{pmatrix} 0 & 0 & 0 \\ 0 & 0 & 1 \\ 0 & 1 & 0 \end{pmatrix},$$

$$T_7 = \frac{1}{2}\tilde{\lambda}_7 = \frac{1}{2i}(C_{23} - C_{32}) = \frac{1}{2}\begin{pmatrix} 0 & 0 & 0 \\ 0 & 0 & -i \\ 0 & i & 0 \end{pmatrix}, \quad T_8 = \frac{\sqrt{3}}{2}\tilde{\lambda}_8 = \frac{1}{2\sqrt{3}}\begin{pmatrix} 1 & & \\ & 1 & \\ & & -2 \end{pmatrix}.$$



Generadores de SU(4)

Los generadores que describen transiciones entre quarks y leptones:

$$T_9 = \frac{1}{2}\tilde{\lambda}_9 = \frac{1}{2}(C_{14} + C_{41}) = \frac{1}{2}\begin{pmatrix} 1 & & & \\ & 0 & & \\ & & 0 & \\ & & & 0 \end{pmatrix}, \quad T_{10} = \frac{1}{2}\tilde{\lambda}_{10} = \frac{1}{2i}(C_{14} + C_{41}) = \frac{1}{2}\begin{pmatrix} & & & -i \\ & & & 0 \\ & & & 0 \\ i & 0 & 0 & \end{pmatrix},$$

$$T_{11} = \frac{1}{2}\tilde{\lambda}_{11} = \frac{1}{2}(C_{14} + C_{41}) = \frac{1}{2}\begin{pmatrix} & & & 0 \\ & & & 1 \\ & & & 0 \\ & & & 0 \end{pmatrix}, \quad T_{12} = \frac{1}{2}\tilde{\lambda}_{12} = \frac{1}{2i}(C_{24} + C_{42}) = \frac{1}{2}\begin{pmatrix} & & & 0 \\ & & & -i \\ & & & 0 \\ & 0 & i & 0 \end{pmatrix},$$

$$T_{13} = \frac{1}{2}\tilde{\lambda}_{13} = \frac{1}{2}(C_{34} + C_{43}) = \frac{1}{2}\begin{pmatrix} & & & 0 \\ & & & 0 \\ & & & 1 \\ & 0 & 0 & \end{pmatrix}, \quad T_{14} = \frac{1}{2}\tilde{\lambda}_{14} = \frac{1}{2i}(C_{34} + C_{43}) = \frac{1}{2}\begin{pmatrix} & & & 0 \\ & & & 0 \\ & & & 0 \\ & 0 & 0 & -i \end{pmatrix}.$$

Y el generador de la carga de SU(4) al romper

$$T_{15} = \frac{1}{2\sqrt{6}}\tilde{\lambda}_{15} = \frac{1}{2\sqrt{6}}\begin{pmatrix} 1 & & & \\ & 1 & & \\ & & 1 & \\ & & & -3 \end{pmatrix}.$$



Estudio detallado del modelo

Operador de carga



Los grupos $SU(4)$ rompen a $SU(3)$

$$SU(4)_{L/R} \rightarrow SU(3)_{L/R} \otimes U(1)_{L/R 31}. \quad (10)$$

Las branching rules de este rompimiento conllevan a

$$4 \rightarrow 3_1 \oplus 1_{-3}, \quad (11)$$

De donde es fácil inferir el generador del grupo $U(1)_{L/R 31}$ (excepto por un factor constante)

$$T_L^{15} = T_R^{15} = \frac{1}{2\sqrt{6}} \begin{pmatrix} 1 & & & \\ & 1 & & \\ & & 1 & \\ & & & -3 \end{pmatrix}. \quad (12)$$



El operador de carga se define como una combinación lineal de los generadores diagonales de todos los grupos

$$Q = (t^3) + A(T_L^{15} + T_R^{15}) + BY', \quad (13)$$

Aplicando sobre los multipletes:

$$\Psi_L = (4, 1, 2, 0) = (3, 2)_{\frac{1}{6}} \oplus (1, 2)_{-\frac{1}{2}}$$

$$\Psi_R^u = (1, 4, 1, \frac{1}{2}) = (3, 1)_{\frac{1}{6}} \oplus (1, 1)_0$$

$$\Psi_R^d = (1, 4, 1, -\frac{1}{2}) = (3, 1)_{-\frac{1}{3}} \oplus (1, 1)_{-1}$$



Operador de carga para multiplete $\Psi_L = (4, 1, 2, 0)$

El multiplete tiene dos índices, $\Psi_L^{i\alpha}$, con $i = 1, 2, 3, 4$ índice de $SU(4)_L$ y $\alpha = 1, 2$ índice de $SU(2)_L$. Fijando el índice de isoespín podemos representarlo como

$$\Psi_L^{i1} = \begin{pmatrix} u_1 \\ u_2 \\ u_3 \\ \nu_e \end{pmatrix}_L, \quad \Psi_L^{i2} = \begin{pmatrix} d_1 \\ d_2 \\ d_3 \\ e \end{pmatrix}_L \quad (14)$$

Haciendo explícitos los índices de las simetrías, el operador de carga es

$$(Q\Psi_L)^{i\alpha} = \left[(t^3)_\beta^\alpha \delta_j^i + A(T_L^{15})_j^i \delta_\beta^\alpha + 0 \right] \Psi_L^{j\beta}. \quad (15)$$



Operador de carga para multiplete $\Psi_L = (4, 1, 2, 0)$

Para $\alpha = 1$ tendremos:

$$\begin{aligned} (Q\Psi_L)^{i1} &= \left[\frac{1}{2} \begin{pmatrix} 1 & & & \\ & 1 & & \\ & & 1 & \\ & & & 1 \end{pmatrix} + \frac{A}{2\sqrt{6}} \begin{pmatrix} 1 & & & \\ & 1 & & \\ & & 1 & \\ & & & -3 \end{pmatrix} \right] \begin{pmatrix} u_1 \\ u_2 \\ u_3 \\ \nu_e \end{pmatrix}_L \\ &= \begin{pmatrix} \frac{1}{2} + \frac{A}{2\sqrt{6}} & & & \\ & \frac{1}{2} + \frac{A}{2\sqrt{6}} & & \\ & & \frac{1}{2} + \frac{A}{2\sqrt{6}} & \\ & & & \frac{1}{2} - \frac{A}{2\sqrt{2}} \end{pmatrix} \begin{pmatrix} u_1 \\ u_2 \\ u_3 \\ \nu_e \end{pmatrix}_L. \end{aligned} \quad (16)$$

Con las cargas del ME

$$\begin{pmatrix} \frac{2}{3} & & & \\ & \frac{2}{3} & & \\ & & \frac{2}{3} & \\ & & & 0 \end{pmatrix} \quad (17)$$



Operador de carga para multiplete $\Psi_L = (4, 1, 2, 0)$

Solucionando el sistema de ecuaciones

$$A = \frac{\sqrt{6}}{3}. \quad (18)$$

Haciendo un proceso análogo para $\alpha = 2$ nos arroja el mismo resultado para este coeficiente.

Hasta el momento tenemos, para el operador de carga

$$Q = t^3 + \frac{\sqrt{6}}{3} (T_L^{15} + T_R^{15}) + BY'. \quad (19)$$



Operador de carga para multiplete $\Psi_R^u = (1, 4, 1, \frac{1}{2})$

Este multiplete sólo tiene un índice de $SU(4)_R$ y contiene las partículas

$$\Psi_R^u = \begin{pmatrix} u_1 \\ u_2 \\ u_3 \\ \nu_e \end{pmatrix}_R . \quad (20)$$

Haciendo explícitos los índices, el operador de carga aplicado a este multiplete dará como resultado

$$(Q\Psi_R^u)^i = \left[\frac{\sqrt{6}}{3} (T_R^{15})^i_\alpha + \frac{1}{2} B \right] \Psi_R^{u\alpha} . \quad (21)$$



Operador de carga para multiplete $\Psi_R^u = (1, 4, 1, \frac{1}{2})$

$$\begin{aligned} (Q\Psi_R^u)^i &= \left[\frac{1}{6} \begin{pmatrix} 1 & & & \\ & 1 & & \\ & & 1 & \\ & & & -3 \end{pmatrix} + B \left(\frac{1}{2} \right) \begin{pmatrix} 1 & & & \\ & 1 & & \\ & & 1 & \\ & & & 1 \end{pmatrix} \right] \begin{pmatrix} u_1 \\ u_2 \\ u_3 \\ \nu_e \end{pmatrix}_R \\ &= \frac{1}{6} \begin{pmatrix} 1+3B & & & \\ & 1+3B & & \\ & & 1+3B & \\ & & & 3(1-B) \end{pmatrix} \begin{pmatrix} u_1 \\ u_2 \\ u_3 \\ \nu_e \end{pmatrix}_R. \end{aligned} \quad (22)$$

Con las cargas del ME es posible determinar

$$\boxed{B = 1}. \quad (23)$$

El análisis para el multiplete $\Psi_R^d = (1, 4, 1, -\frac{1}{2})$ arroja el mismo resultado



Operador de carga del modelo

Con los coeficientes que hemos determinado, el operador de carga del modelo es

$$Q = t^3 + \frac{\sqrt{6}}{3} (T_L^{15} + T_R^{15}) + Y'. \quad (24)$$

Este operador debe tener un índice de isoespín y uno de $SU(4)_{L/R}$. Fijando el índice de isoespín es posible expresar los autovalores de este operador como 2 matrices 4×4

$$Q^u = \begin{pmatrix} \frac{2}{3} & & & \\ & \frac{2}{3} & & \\ & & \frac{2}{3} & \\ & & & 0 \end{pmatrix}, \quad Q^d = \begin{pmatrix} -\frac{1}{3} & & & \\ & -\frac{1}{3} & & \\ & & -\frac{1}{3} & \\ & & & -1 \end{pmatrix} \quad (25)$$



Estudio detallado del modelo

Lagrangiano de interacción



Lagrangiano de interacción

Las interacciones entre partículas mediadas por bosones gauge son obtenidas a partir de

$$\mathcal{L} \supset \bar{\hat{\Psi}}_L i\gamma^\mu D_\mu \hat{\Psi}_L + \bar{\hat{\Psi}}_R^u i\gamma^\mu D_\mu \hat{\Psi}_R^u + \bar{\hat{\Psi}}_R^d i\gamma^\mu D_\mu \hat{\Psi}_R^d, \quad (26)$$

donde la derivada covariante:

$$D_\mu = \partial_\mu + ig_L G_{L\mu}^A T_L^A + ig_R G_{R\mu}^A T_R^A + ig_2 W_\mu^a t^a + ig_1' Y'_\mu Y', \quad (27)$$

con $A = 1, \dots, 15$, $a = 1, 2, 3$, y donde T_L^A , T_R^A , t^a , Y' son los generadores de $SU(4)_L$, $SU(4)_R$, $SU(2)_L$, $U(1)'$ respectivamente, $G_{L\mu}^A$, $G_{R\mu}^A$, W_μ^a , Y'_μ sus correspondientes campos gauge, y g_L , g_R , g_2 , g_1' las constantes de acoplamiento a cada grupo.



Derivadas covariantes de los multipletes

Para el multiplete $\Psi_L = (4, 1, 2, 0)$, Asociamos un índices i al grupo $SU(4)_L$ y un índice j al grupo $SU(2)_L$. La derivada covariante actuando sobre este multiplete se expresa como

$$D_\mu \hat{\Psi}_L^{ij} = \partial_\mu \hat{\Psi}_L^{ij} - ig_L^a (T_L^a G_{L\mu}^a)_\alpha^i \hat{\Psi}_L^{\alpha j} - ig_2^b (t^b W_\mu^b)_\alpha^j \hat{\Psi}_L^{i\alpha}. \quad (28)$$

Por su parte, para los multipletes derechos $\Psi_R^{u/d} = (1, 4, 1, \pm 1/2)$ la derivada covariante es

$$D_\mu \hat{\Psi}_R^i = \partial_\mu \hat{\Psi}_R^i - ig_R^a (T_R^a G_{R\mu}^a)_\alpha^i \hat{\Psi}_R^\alpha. \quad (29)$$



Estudio detallado del modelo

Autoestados de sabor y de masa de los leptosquarks



Operador de carga de la representación adjunta

Los leptokuarks, así como todos los bosones gauge pertenecen a la representación adjunta:

$$4 \times \bar{4} = 1 + 15. \quad (30)$$

Los autovalores del operador de carga:

$$Q_{kl}^{[15]} = Q_k^{[4]} + Q_l^{[\bar{4}]} = +Q_k^{[4]} - Q_l^{[4]} \quad (31)$$

$$Q^{[4]u} = \begin{pmatrix} \frac{2}{3} \\ \frac{2}{3} \\ \frac{2}{3} \\ 0 \end{pmatrix}, \quad Q^{[4]d} = \begin{pmatrix} -\frac{1}{3} & & & \\ & -\frac{1}{3} & & \\ & & -\frac{1}{3} & \\ & & & -1 \end{pmatrix}, \quad Q_{kl}^{[15]} = \begin{pmatrix} 0 & 0 & 0 & \frac{2}{3} \\ 0 & 0 & 0 & \frac{2}{3} \\ 0 & 0 & 0 & \frac{2}{3} \\ -\frac{2}{3} & -\frac{2}{3} & -\frac{2}{3} & 0 \end{pmatrix} \quad (32)$$



Operador de bosones gauge

Términos de interacción de SU(4)

$$ig_L G_{L\mu}^A T_L^A + ig_R G_{R\mu}^A T_R^A \quad (33)$$

Definimos el operador de bosones gauge

$$\mathbb{G}_{L/R\mu} \equiv G_{L/R\mu}^A T_{L/R}^A \quad (34)$$

$$\mathbb{G} = \frac{1}{\sqrt{2}} \left(\begin{array}{ccc|c} \frac{1}{\sqrt{2}} \sum_{A=1}^8 G_{\mu}^A T^A & & & X^1 \\ & & & X^2 \\ & & & X^3 \\ \hline X^{1*} & X^{2*} & X^{3*} & \frac{\sqrt{3}}{2} G_{\mu}^{15} \end{array} \right), \quad X = \begin{pmatrix} X^1 \\ X^2 \\ X^3 \end{pmatrix} = \begin{pmatrix} \frac{1}{\sqrt{2}} (G_{\mu}^9 - iG_{\mu}^{10}) \\ \frac{1}{\sqrt{2}} (G_{\mu}^{11} - iG_{\mu}^{12}) \\ \frac{1}{\sqrt{2}} (G_{\mu}^{13} - iG_{\mu}^{14}) \end{pmatrix}.$$



Matriz de masa de los leptoquarks

$$\mathcal{M}_X^2 = \frac{1}{4} \begin{pmatrix} g_L^2 [v_L^2 + v_\Sigma^2 (1 + z^2)] & -2g_L g_R v_\Sigma^2 z \\ -2g_L g_R v_\Sigma^2 z & g_R^2 [v_R^2 + v_\Sigma^2 (1 + z^2)] \end{pmatrix},$$

Matriz de mezcla

$$\begin{pmatrix} X_1 \\ X_2 \end{pmatrix} = \begin{pmatrix} \cos \theta_4 & \sin \theta_4 \\ -\sin \theta_4 & \cos \theta_4 \end{pmatrix} \begin{pmatrix} X_L \\ X_R \end{pmatrix}.$$

Haciendo que $SU(4)_R$ rompa a una escala energética mucho mayor asumimos que los vevs de los campos

escalares $v_R \gg v_L$ y $v_R \gg v_\Sigma$, con lo que la mezcla desaparece, $\sin \theta_4 = 0$ y las masas de los leptoquarks se vuelven

$$M_{X_1} = \frac{1}{2} g_L \sqrt{v_L^2 + v_\Sigma^2 (1 + z^2)}$$
$$M_{X_2} = \frac{1}{2} g_R v_R.$$



Estudio detallado del modelo

Estructura de sabor y términos de interacción



Estructura de sabor y términos de interacción

- $SU(4)_R$ rompe a una escala de energía mucho mayor, lo cual suprime las corrientes derechas con cambio de sabor.
- Analizaremos únicamente los términos de interacción de las partes izquierdas

$$\mathcal{L} \supset \bar{\Psi}_L i\gamma^\mu D_\mu \Psi_L. \quad (35)$$

Ψ_L puede expresarse como dos cuádrupletes de $SU(4)$ fijando el índice de isoespín

$$\Psi_L^u \equiv \begin{pmatrix} u_1 \\ u_2 \\ u_3 \\ \nu_\ell \end{pmatrix}_L, \quad \Psi_L^d \equiv \begin{pmatrix} d_1 \\ d_2 \\ d_3 \\ \ell \end{pmatrix}_L, \quad (36)$$



El Lagrangiano puede expresarse como

$$\mathcal{L} \supset \bar{\Psi}_L^u i\gamma^\mu D_\mu \Psi_L^u + \bar{\Psi}_L^d i\gamma^\mu D_\mu \Psi_L^d \quad (37)$$

Las interacciones de nuestro interés son con leptokuarks, es decir de SU(4).
Restringiéndonos a los términos de este grupo en la derivada covariante:

$$\mathcal{L} \supset \bar{\Psi}_L^u i\gamma^\mu (ig_L \mathbb{G}_L) \Psi_L^u + \bar{\Psi}_L^d i\gamma^\mu (ig_L \mathbb{G}_L) \Psi_L^d. \quad (38)$$



Estructura de sabor y términos de interacción

Los términos que involucran al leptoquark son de la forma

$$\begin{aligned}\mathcal{L} \supset & -\frac{g_L}{\sqrt{2}} \left[(\bar{u}_1 \gamma^\mu X_L^1 + \bar{u}_2 \gamma^\mu X_L^2 + \bar{u}_3 \gamma^\mu X_L^3) \nu_\ell \right. \\ & \left. + (\bar{d}_1 \gamma^\mu X_L^1 + \bar{d}_2 \gamma^\mu X_L^2 + \bar{d}_3 \gamma^\mu X_L^3) \ell \right] + \text{h.c.} \\ & = -\frac{g_L}{\sqrt{2}} X_L^c [\bar{u}_c \gamma^\mu \nu_\ell + \bar{d}_c \gamma^\mu \ell] + \text{h.c.} \\ & = -\frac{g_L}{\sqrt{2}} X_L [\bar{u} \gamma^\mu \nu_\ell + \bar{d} \gamma^\mu \ell] + \text{h.c.}, \quad (39)\end{aligned}$$

donde c es índice de color, que suprimimos porque está contraído y no afecta nuestro análisis. Además definimos

$$u \equiv \begin{pmatrix} u_1 \\ u_2 \\ u_3 \end{pmatrix}_L, \quad d \equiv \begin{pmatrix} d_1 \\ d_2 \\ d_3 \end{pmatrix}_L \quad (40)$$



Introducción de índices de familia

Para obtener los términos con las tres familias del ME tenemos en cuenta los dobletes de isoespín definidos como

$$Q_{Li} = \begin{pmatrix} V_{ki}^\dagger u_k \\ d_i \end{pmatrix}, \quad L_{Lj} = \begin{pmatrix} U_{kj} \nu_j \\ \ell_j \end{pmatrix}, \quad (41)$$

donde V es la matriz CKM y U la matriz PMNS.

$$\begin{aligned} \mathcal{L} &\supset -\frac{g_L}{\sqrt{2}} X_L \left[V_{ki}^\dagger \bar{u}_i x_L^{ij} \gamma^\mu U_{kj} \nu_j + \bar{d}_i \gamma^\mu x_L^{ij} \ell_j \right] \\ &= -\frac{g_L}{\sqrt{2}} X_L \left[\left(V_{ki}^\dagger x_L^{ij} U_{kj} \right) \bar{u}_i \gamma^\mu \nu_j + \bar{d}_i \gamma^\mu x_L^{ij} \ell_j \right] \\ &= -\frac{g_L}{\sqrt{2}} X_L \left[x_{Lu}^{ij} (\bar{u}_i \gamma^\mu \nu_j) + x_{Ld}^{ij} (\bar{d}_i \gamma^\mu \ell_j) \right], \end{aligned}$$



$$\mathcal{L} \supset \frac{g_L}{\sqrt{2}} X_L \left[x_{Lu}^{ij} (\bar{u}_i \gamma^\mu \nu_j) + x_{Ld}^{ij} (\bar{d}_i \gamma^\mu \ell_j) \right], \quad (42)$$

Estudio fenomenológico



Estudio fenomenológico

Análisis independiente del modelo



Análisis independiente del modelo

$$\mathcal{L} \supset U_{1\mu} \sum_{i,j=1,2,3} \left[x_L^{ij} \left(\bar{d}_L^i \gamma^\mu e_L^j \right) + \left(V^\dagger x_L U \right)_i^j \left(\bar{u}_L^i \gamma^\mu \nu_L^j \right) + x_R^{ij} \left(\bar{d}_R^i \gamma^\mu e_R^j \right) \right] + \text{h.c.},$$

Para evitar restricciones provenientes de conversiones $\mu - e$ a nivel nuclear y violaciones de paridad usamos la estructura del modelo mínimo

$$x_L = \begin{pmatrix} 0 & 0 & 0 \\ 0 & x_L^{s\mu} & x_L^{s\tau} \\ 0 & x_L^{b\mu} & x_L^{b\tau} \end{pmatrix}.$$

Los decaimientos semileptónicos del mesón B involucran una transición $b \rightarrow s\mu^+\mu^-$ via el Hamiltoniano efectivo

$$\mathcal{H}_{\text{eff}}(b \rightarrow s\mu^+\mu^-) = -\frac{\alpha_{\text{em}} G_F}{\sqrt{2}\pi} V_{tb} V_{ts}^* \left[C_9^{bs\mu\mu} (\bar{s} P_L \gamma_\beta b) (\bar{\mu} \gamma^\beta \mu) + C_{10}^{bs\mu\mu} (\bar{s} P_L \gamma_\beta b) (\bar{\mu} \gamma^\beta \gamma_5 \mu) \right]$$



Coefficientes de Wilson:

$$C_9^{bs\mu\mu} = -C_{10}^{bs\mu\mu} = -\frac{\pi}{\sqrt{2} G_F \alpha_{em} V_{tb} V_{ts}^*} \frac{x_L^{s\mu} (x_L^{b\mu})^*}{M_{U_1}^2}.$$

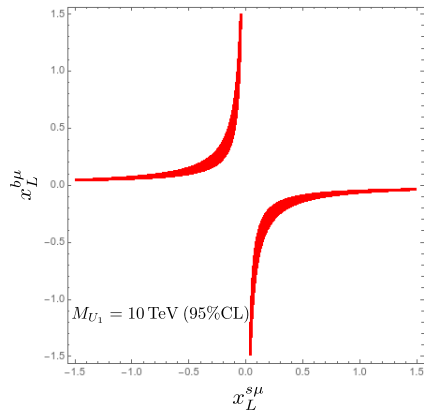
Valores encontrados por Altmannshofer & Stangl 2021 para $C_9 = -C_{10}$ a partir de todos los decaimientos raros del mesón B :

$$C_{9\text{ ex}}^{bs\mu\mu} = -C_{10\text{ ex}}^{bs\mu\mu} = -0,39 \pm 0,07.$$

Análisis independiente del modelo

Intervalo de 1σ de los acoplamientos de sabor obtenidos a partir del ajuste de χ^2 para un leptoquark con $M_{U_1} = 10$ TeV:

$x_L^{s\mu}$	$x_L^{b\mu}$
$[0, 23, 0, 30]$	$[-0, 26, -0, 20]$



Estudio fenomenológico

Fenomenología del modelo



Los estados de los leptoquarks X_1, X_2 modifican los coeficientes de wilson a la forma

$$C_9^{\mu\mu} = -C_{10}^{\mu\mu} = -\frac{\sqrt{2}\pi^2 g_L^2 x_{Ld}^{s\mu} x_{Ld}^{b\mu*}}{G_F e^2 V_{tb} V_{ts}^*} \left[\frac{\cos^2 \theta_4}{M_{X_1}^2} + \frac{\sin^2 \theta_4}{M_{X_2}^2} \right]. \quad (43)$$

Con la restricción sobre la energía a la que rompe $SU(4)_R$ obtenemos

$$C_9^{\mu\mu} = -C_{10}^{\mu\mu} = -\frac{\pi}{\sqrt{2} G_F \alpha_{em} V_{tb} V_{ts}^*} \frac{1}{M_X^2} \left(\frac{g_L}{\sqrt{2}} x_{Ld}^{s\mu} \right) \left(\frac{g_L}{\sqrt{2}} x_{Ld}^{b\mu} \right), \quad (44)$$



Parametrización de la matriz de acoplamientos

A partir de un análisis sobre las búsquedas para $K_L^0 \rightarrow e^\pm \mu^\mp$ y conversiones $e - \mu$, Fornal et.al. parametrizan los acoplamientos como

$$x_{Ld} \approx e^{i\phi} \begin{pmatrix} \delta_1 & \delta_2 & 1 \\ e^{i\phi_1} \cos \theta & e^{i\phi_2} \sin \theta & \delta_3 \\ -e^{i\phi_2} \sin \theta & e^{i\phi_1} \cos \theta & \delta_4 \end{pmatrix},$$

donde $|\delta_i| \ll 1$.

A partir de constraints para las anomalías $R_{K^{(*)}}$ se establece

$$\cos(\phi_1 + \phi_2) \approx 0,18,$$

Adicionalmente se ubica la constante

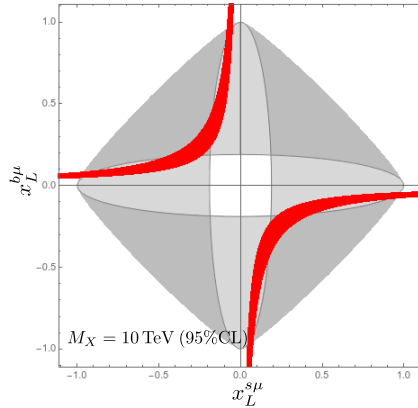
$$g_L \approx 1,06 g_s,$$

con $g_s \approx 0,96$ siendo la constante de acoplamiento fuerte a 10 TeV.



Región permitida

Región permitida a 95 %CL para un leptoquark con $M_X = 10\text{TeV}$



Conclusiones



Conclusiones

- Leptoquarks provenientes de $SU(4)$ ofrecen posible explicación a las anomalías que violan universalidad leptónica. El vértice admite transiciones directas entre quarks y leptones con acoplamientos diferentes.
- Para la anomalía $]R_K$, que involucra la transición $b \rightarrow s\mu^+\mu^-$ determinamos $x_L^{s\mu}$, $x_L^{b\mu}$ en los intervalos $[0,23, 0,30]$ y $[-0,26, -0,20]$ para un leptoquark de 10TeV.
- La parametrización de la matriz de acoplamientos admite un amplio rango de valores. Los datos obtenidos del análisis independiente se encuentran dentro de este rango.
- El rango de valores del análisis específico es aún muy amplio. Se requiere un análisis fenomenológico más cuidadoso que analice la pertinencia de esta parametrización.



GRACIAS

